



БИООРГАНИЧЕСКАЯ ХИМИЯ

том 10 * №10 * 1984

УДК 577.152.321*6.02

ИССЛЕДОВАНИЕ ТРАНСГЛИКОЗИЛИРУЮЩЕЙ СПОСОБНОСТИ ЭНДО- β -1,3-ГЛЮКАНАЗ

II. КИНЕТИЧЕСКИЕ ОСОБЕННОСТИ РЕАКЦИЙ ГИДРОЛИЗА
И ТРАНСГЛИКОЗИЛИРОВАНИЯ, КАТАЛИЗИРУЕМЫХ ЭНДО- β -
1,3-ГЛЮКАНАЗАМИ МОРСКИХ МОЛЛЮСКОВ

Звягинцева Т.Н., Назарова Н.И., Елякова Л.А.

*Тихоокеанский институт биоорганической химии ДВНЦ
Академии наук СССР, Владивосток*

Изучены закономерности совместного протекания реакций гидролиза и трансгликоэозилирования под действием эндо- β -1,3-глюканаз Л0 и ЛIV из морских моллюсков в зависимости от pH среды, концентраций ламинарина и *n*-нитрофенилглюкозида, а также от глубины превращения субстрата. Показано, что изучаемые ферменты, различаясь между собой в механизме катализа, обладают повышенной способностью к реакции трансгликоэозилирования.

Способность карбогидраз, а именно эндогликаназ и гликозидаз, катализировать одновременно реакции гидролиза и трансгликоэозилирования известна давно.

Ранее нами было показано [1], что эндо- β -1,3-глюканазы (КФ 3.2.1.6) морских моллюсков ЛIII и ЛIV из *Spisula sachalinensis* [2] и Л0 из *Chlamys abbidus* [3] способны осуществлять реакцию трансгликоэозилирования при использовании ламинарина и ламинариолигосахаридов в качестве доноров и различных арил- β -D-глюкозидов в качестве акцепторов.

В настоящей работе изучены закономерности совместного протекания реакций гидролиза и трансгликоэозилирования под действием Л0 и ЛIV в зависимости от pH среды, концентраций ламинарина и *n*-нитрофенилглюкозида (*Np*-глюкозид), а также от времени реакции или глубины превращения субстрата.

Количество продуктов трансгликоэозилирования и гидролиза в процессе трансформации субстрата под действием Л0 и ЛIV определяли соответственно по поглощению при 300 нм и методом Нельсона [4] после отделения на сепадексе G-15 *Np*-глюкозида, который мешает определениям. Одновременно для сравнения проводили гидролиз ламинарина под действием ферментов в отсутствие *Np*-глюкозида (контрольный гидролиз).

Максимальное действие Л0 проявляется в интервале pH 4,0–5,5, а ЛIV – в области pH 4,5–5,5. Оптимумы pH реакций гидролиза и трансгликоэозилирования, определенные с помощью вышеизложенного подхода, хорошо совпадают между собой. Можно предполагать, что в процессе как гидролиза, так и трансгликоэозилирования участвуют одни и те же катализитические группировки активных центров изучаемых ферментов.

Интервалы концентраций субстрата и акцептора были выбраны на основании ранее полученных данных с регистрацией процесса трансгликоэозилирования по выделению *n*-нитрофенола [1]. Но, как предполагалось ранее [1] и будет показано ниже, выделение *n*-нитрофенола происходит на конечных стадиях реакции и характеризует вторичный процесс – расщепление продуктов трансгликоэозилирования. К начальным стадиям реакции выделение *n*-нитрофенола отношения не имеет, и закономерности образования продуктов трансгликоэозилирования совершенно иные, чем их разрушения.

* Сообщение I см. [1].

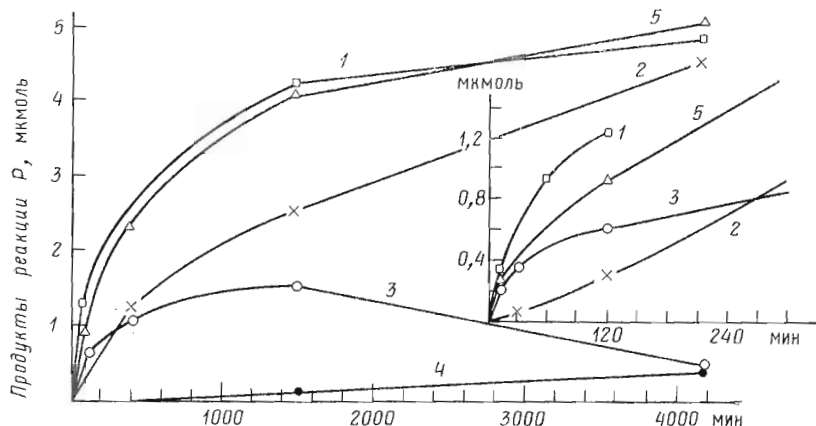


Рис. 1

Рис. 1. Кинетика катализируемого ламинарина (0,26 мкмоль) образования из ламинарина (0,26 мкмоль) продуктов гидролиза в отсутствие Нр-глюкозида (1), а также продуктов гидролиза (2), трансгликозилирования (3) и *n*-нитрофенола (4) в присутствии Нр-глюкозида (16,7 мкмоль). 5 — $P_t + P_r$. На врезке начальные участки кинетических данных

Рис. 2. а — кинетика катализируемого ламинарина (0,2 мкмоль) образования из ламинарина (0,2 мкмоль) продуктов гидролиза в отсутствие Нр-глюкозида (1), а также продуктов гидролиза (2), трансгликозилирования (3) и *n*-нитрофенола (4) в присутствии Нр-глюкозида (16,7 мкмоль). 5 — $P_t + P_r$; б — начальные участки кинетических кривых

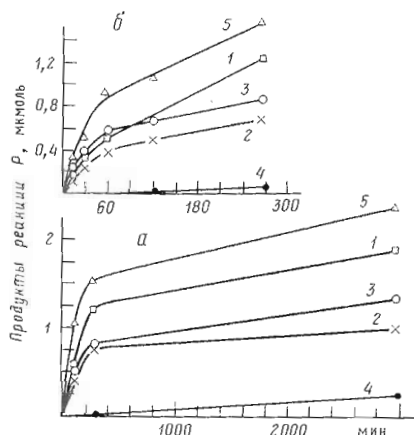


Рис. 2

При изучении трансформации ламинарина во времени в присутствии Нр-глюкозида и в его отсутствие между действием ЛО и ЛIV были обнаружены существенные различия (рис. 1 и 2). Так, для ЛIV кривые накопления продуктов гидролиза и трансгликозилирования пересекаются в точке, соответствующей деградации ~20% связей в ламинарине (степень полимеризации ламинарина $n=30$), что соответствует средней степени полимеризации продуктов реакций 6. До этой точки скорость реакции трансгликозилирования преобладает над скоростью реакции гидролиза, после $n=6$ процесс гидролиза начинает преобладать над трансгликозилированием. После деградации 40% связей в субстрате накопление продуктов трансгликозилирования сменяется интенсивным исчезновением их. Таким образом, кривая накопления продуктов трансгликозилирования под действием ЛIV имеет две ветви: накопления и расхода. Расход продуктов на поздних стадиях реакции может происходить за счет отщепления Нр-глюкозида [5] и *n*-нитрофенола, значительные количества которого появляются лишь на последних стадиях реакции (рис. 1, 2).

Кривые накопления продуктов трансгликозилирования (P_t) и гидролиза (P_r) для ЛО развиваются совершенно по иным законам. Процесс трансгликозилирования преобладает над гидролизом практически до конца разрушения субстрата: отношение P_t/P_r с увеличением глубины превращения субстрата для ЛО меняется незначительно (рис. 3, $P_t/P_r=2$ для 5% превращения субстрата и $P_t/P_r=1,5$ для 27%), тогда как для ЛIV оно сильно изменяется с течением реакции (рис. 3, $P_t/P_r=3,5$ для 5% и $P_t/P_r=0,7$ для 27% превращения субстрата). Таким образом, для

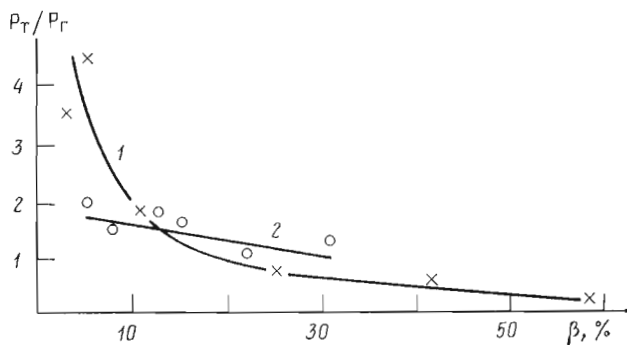


Рис. 3. Зависимость отношения P_t/P_r от глубины превращения субстрата ($\beta, \%$) под действием ЛIV (1) и Л0 (2)

Л0 в отличие от ЛIV процесс трансгликозилирования преобладает над процессом гидролиза независимо от степени полимеризации субстрата.

Интересно, что общее число разрывов связей в ламинарине ($P_t + P_r$) для ЛIV одинаково как в присутствии Нр-глюкозида, так и без него, а при добавлении Нр-глюкозида число разрывов связей под действием Л0 увеличивается приблизительно в 1,5–2 раза (рис. 1, 2).

Объяснений этому факту можно дать несколько. Например, для ЛIV скорость определяющей стадией может быть образование фермент-субстратного комплекса, а для Л0 – присоединение молекулы акцептора. Возможно, причина таких различий кроется в способности ЛIV осуществлять механизм множественной атаки [6]; также вполне вероятно, что для Л0 Нр-глюкозид более подходящий акцептор, чем для ЛIV.

Реакция трансгликозилирования под действием ЛIV и Л0 протекает успешно и преобладает над реакцией гидролиза (рис. 1, таблица) даже при наименьших из исследованных концентрациях донора (0,2 мкмоль) и акцептора (3,33 мкмоль). Для обоих ферментов было определено отношение

$$\alpha = \frac{K_t}{K_r} = \frac{(V_t/V_r)[H_2O]}{[A]}, [7]$$

где $[A]$ и $[H_2O]$ – концентрации Нр-глюкозида и воды, K_t и K_r , V_t и V_r – константы и начальные скорости реакций трансгликозилирования и гидролиза. Для ЛIV $\alpha = 2,3 \cdot 10^4$, для Л0 $\alpha = 2,2 \cdot 10^4$.

Истинные значения α должны быть больше полученных, так как величины V_t занижены, поскольку метод, используемый для определения продуктов трансгликозилирования, не позволяет учитывать количество Нр-глюкозида, образующегося в качестве продукта реакции [5].

Нужно отметить, что у изучаемых ферментов отношение констант трансгликозилирования и гидролиза сопоставимо с известными [8, 9]. Для лизоцима это отношение в одном случае составляет 10^3 [8], в другом – 133 [9]. Намного меньше для глюканаз Л0 и ЛIV по сравнению с известными [10, 11] так называемая пороговая концентрация, т. е. концентрация, ниже которой преобладает реакция гидролиза, выше – трансгликозилирования. Так, для амилазы из *Bacillus subtilis* при использовании в качестве субстрата мальтозы «пороговая концентрация» была равна 38,2 мМ [10]. В некоторых случаях с изменением степени полимеризации субстрата величина «пороговой концентрации» может изменяться. В частности, для ЛIV, чем больше степень полимеризации субстрата, тем меньше должна быть «пороговая концентрация». В случае Л0 «пороговая концентрация» практически не меняется с изменением длины субстрата (рис. 3).

Таким образом, изучаемые ферменты, различаясь между собой по механизму действия, обладают повышенной способностью к реакции трансгликозилирования.

Трансформация ламинарина под действием ЛО

Время, мин	Ламинарин, мкмоль/ /Glu (m)	Nр-глюко-зид, мкмоль	P _R	P _T	Nр-OH	P _R + P _T	P _T /P _R	β
15	61,7	33,3	0,17	0,38	0,00	0,55	2,2	0,89
		16,6	0,10	0,29	0,00	0,39	2,9	0,63
		3,33	0,13	0,17	0,00	0,30	1,3	0,48
	30,9	16,6	0,12	0,24	0,00	0,36	2,0	1,15
	6,17	16,6	0,11	0,21	0,00	0,32	2,0	4,9
		0	0,17					2,7
	61,7	33,3	0,22	0,61	0,00	0,83	2,8	1,3
		16,6	—	0,44	0,00	—	—	—
30	30,90	3,33	0,30	0,26	0,00	0,56	0,87	0,90
	61,7	16,6	0,17	0,33	0,00	0,50	2,0	1,6
		33,3	0,20	0,46	0,03	0,66	2,3	9,95
	6,17	16,6	0,20	0,30	0,01	0,50	1,5	7,7
		0	0,32					5,2
	61,7	33,3	0,36	0,91	0,00	1,27	2,5	2,0
60	3,33	0,32	0,52	0,00	0,84	1,6	1,35	
	30,9	33,3	0,27	0,80	0,025	1,07	3,0	3,69
	6,17	16,6	0,27	0,59	0,01	0,86	2,2	2,7
		16,6	0,31	0,56	0,01	0,87	1,8	13,0
		0	0,50					8,0
120	61,7	33,3	0,45	1,37	0,00	1,82	3,0	2,9
		33,3	0,67	1,37	0,04	2,04	2,0	6,32
	30,9	16,6	0,78	1,01	0,02	1,79	1,3	5,6
	6,17	33,3	0,51	0,71	0,06	1,22	1,4	17,73
		16,6	0,40	0,63	0,03	1,03	1,6	15,2
270	61,7	33,3	0,80	2,19	0,00	2,99	2,7	4,7
		16,6	1,37	1,53	0,03	2,90	1,2	4,59
	30,9	33,3	0,84	1,98	0,05	2,82	2,3	8,58
		16,6	1,06	1,38	0,03	2,44	1,3	7,5
	6,17	33,3	0,94	1,14	0,09	2,08	1,2	28,45
		16,6	0,76	0,77	0,06	1,53	1,0	22,0
2880	61,7	33,3	1,34	4,01	0,15	5,35	3,0	8,14
		16,6	2,46	2,45	0,14	5,05	1,0	7,87
	30,9	33,3	2,13	3,31	0,16	5,44	1,6	15,90
	6,17	16,6	1,33	1,72	0,12	3,05	1,3	9,3
		16,6	1,03	1,31	0,23	2,34	1,3	31,3
		0	1,85					30

Экспериментальная часть

Эндо- β -1,3-глюканазу ЛIV выделяли из *S. sachalinensis* по методу [2], ЛО — из *Ch. abbidus* [3].

Ламинарин получали из *Laminaria cyscharioides* по методу [12]. *n*-Нитрофенил- β -D-глюкопиранозид — препарат фирмы Chemapol (Чехословакия).

Кинетические эксперименты и определение количества продуктов реакции

Реакционные смеси содержали 0,2–2 мкмоль ламинарина, 0–33,3 мкмоль Nр-глюкозида и 0,01–0,02 ед. ЛО и ЛIV в 1 мл 0,1 М ацетатного буфера (рН 5,2) и 0,1 М NaCl. Через определенные интервалы времени отбирали пробы и останавливали реакцию в них кипячением.

Пробы анализировали на содержание *n*-шитрофенола [1]. Для определения содержания в пробах продуктов трансгликозилирования и гидролиза реакционную смесь (1–0,5 мл) наносили на колонку (1×100 см) с сефадексом G-15 и элюировали водой, регистрируя выходы продуктов трансгликозилирования и Nр-глюкозида на спектрофотометре Uvicord при 280 нм. Картина разделения Nр-глюкозида и меченных им ламинариолигосахаридов в общих чертах совпадала с хроматографией на сефадексом.

дексе G-15 продуктов реакции, полученных при действии целлюлаз на смесь N_р-глюкозида и целлодекстрина в работе [13].

Выход глюкозы регистрировали глюкозооксидным методом [14]. Область выхода глюкозы совпадала с областью выхода N_р-ламинарите-траозида, что соответствует картине разделения замещенных *n*-нитрофенолом и свободных ламинариолигосахаридов на биогеле Р-2 [1].

Фракции, содержащие продукты реакции, исключая N_р-глюкозид, объединяли, упаривали до 2,5 мл и определяли в пробах содержание продуктов гидролиза методом Нельсона [4] и продуктов трансгликозилирования по поглощению при 300 нм, используя в качестве стандартов соответственно глюкозу и N_р-глюкозид.

pH-Оптимумы действия ферментов определяли, используя ламинарин (0,4 мкмоль) в качестве донора и N_р-глюкозид (16,7 мкмоль) в качестве акцептора аналогично [15]. Количество продуктов реакции, полученных при различных pH, измеряли после отделения N_р-глюкозида на сефадексе G-15.

Глубину превращения субстрата (β) определяли, учитывая включение N_р-глюкозида в продукты реакции по формуле

$$\beta = \frac{P_t + P_r}{m + P_t} \cdot 100\%.$$

β — глубина превращения субстрата, т. е. отношение количества расщепленных под действием фермента связей ($P_t + P_r$) к общему количеству связей в растворе ($m + P_t$), где m — количество глюкозы, которая может образоваться при исчерпывающем гидролизе взятого в реакцию ламинарина.

ЛИТЕРАТУРА

1. Назарова Н. И., Елякова Л. А. Биоорган. химия, 1982, т. 8, № 9, с. 1189–1196.
2. Sova V. V., Elyakova L. A., Vaskovsky V. E. Biochim. et biophys. acta, 1970, v. 212, № 4, p. 111–115.
3. Privalova N. M., Elyakova L. A. Comp. Biochem. and Physiol., 1978, v. 60B, № 1, p. 225–228.
4. Nelson N. J. Biol. Chem., 1944, v. 153, № 1, p. 375–381.
5. Назарова Н. И., Елякова Л. А., Звягинцева Т. Н., Членов М. А. I Всес. конф. по хроматографии в биологии и медицине. Тез. докл. М., 1983, с. 14.
6. Елякова Л. А., Звягинцева Т. Н., Привалова Н. М. Биоорган. химия, 1978, т. 4, № 11, с. 1553–1559.
7. Antonov V. K., Rumsh L. D., Tikhodeeva A. G. FEBS Lett., 1974, v. 46, № 1, p. 29–33.
8. Chipman D. M. Biochemistry, 1971, v. 10, № 9, p. 1714–1722.
9. Masaki A., Fukomiso T., Otakara A., Toricata T., Hayashi K., Imoto T. J. Biochem., 1981, v. 90, № 4, p. 1167–1175.
10. Matsuno R., Nakanishi K., Ohnishi M., Hiromi K., Komikubo T. J. Biochem., 1978, v. 3, p. 859–862.
11. Максимов В. И., Каверзнова Е. Д., Кравченко Н. А. Биохимия, 1965, т. 30, вып. 6, с. 1007–1014.
12. Elyakova L. A., Zvyagintseva T. N. Carbohydr. Res., 1974, v. 34, № 2, p. 241–248.
13. Максимов В. И. Прикл. биохимия и микробиол., 1981, т. XVII, вып. 4, с. 563–568.
14. Keston A. Abstr. Paper 129 Meeting Amer. Chem. Soc., 1956, 31 с.
15. Елякова Л. А., Звягинцева Т. Н. Биоорган. химия, 1975, т. 1, № 11, с. 1470–1473.

Поступила в редакцию
16.III.1984

A STUDY ON TRANSFER ACTIVITY OF ENDO- β -1,3-GLUCANASES.

II. KINETIC FEATURES OF THE HYDROLYSIS AND TRANSGLYCOSYLATION REACTIONS CATALYZED BY ENDO- β -1,3-GLUCANASES FROM MOLLUSCS

ZVYAGINTSEVA T. N., NAZAROVA N. I., ELYAKOVA L. A.

Pacific Institute of Bioorganic Chemistry, Far East Science Center,
Academy of Sciences of the USSR, Vladivostok

A study of hydrolysis and transglycosylation processes catalyzed by endo- β -1,3-glucanases LIV from *Spisula sachalinensis* and L0 from *Chlamys abdidus* depending on pH, concentrations of laminarin and *p*-nitrophenylglucoside, as well as on the depth of substrate transformation has been performed. These enzymes have been shown to differ in their catalytic mechanisms but to have more pronounced capacity for catalyzing the transglycosylation reactions.